

การวิเคราะห์ค่าความเข้มข้นของสารละลายโดยใช้คุณสมบัติของการเปลี่ยนค่าความจุ Analysis of Chemical Concentration using Electric Capacitive Variation Characteristic

นรินทร์ ธรรมรักษ์วัฒนา¹⁾ จักรกฤษณ์ นิยมพงษ์วิรัตน์²⁾ และวิศรุต ศรีรัตน์³⁾

บทคัดย่อ

บทความนี้นำเสนอวิธีวิเคราะห์สัญญาณในรูปแบบของวงจรสมมูลไฟฟ้าทางอุดมคติ ของอุปกรณ์ตรวจรู้ด้วยหลักการพื้นฐานของการแปลงค่าความจุ โดยใช้ค่าความเข้มข้นของสารละลายทางเกนี ชนิดเอทิลแอลกอฮอล์เป็นกรณีศึกษา การออกแบบ และสร้างอุปกรณ์ตรวจรู้มีโครงสร้างเป็นแบบแผ่นโลหะคู่นานาเคลือบด้วยไนลอนความหนาเฉลี่ย 0.4 mm ปั๊ดด้วยเรซินเพื่อกำหนดรยะห่างของแผ่นคู่นานาลงที่ 2.5 mm และ 5 mm โดยที่ใช้เป็นสแตนเลสและทองแดง การทดสอบใช้สารละลายเอทิลแอลกอฮอล์ที่มีความเข้มข้นตั้งแต่ 95 % จนถึง 5% และเปลี่ยนแปลงความเข้มข้นครั้งละ 10 % ด้วยการเจือจางของน้ำกลั่นภายในตู้ควบคุมอุณหภูมิ (23 °C) ความถี่ทดสอบเปลี่ยนแปลงครั้งละ 500 Hz ตั้งแต่ 100 Hz จนถึง 2 kHz ผลการเปลี่ยนแปลงค่าความจุที่ได้จากการตรวจรู้จะนำไปเปรียบเทียบกับวงจรไฟฟ้าที่ได้จากเครื่องมือวัด R-L-C มาตรฐาน ยี่ห้อ Good Will รุ่น CTR เพื่อวิเคราะห์คุณสมบัติเปรียบเทียบกันระหว่างโลหะสองชนิดที่ใช้ทำเป็นแผ่นด้านนำและระยะห่างที่เหมาะสมระหว่างแผ่นคู่นานาตามลำดับ การออกแบบในบทความนี้เน้นถึงวิธีการที่ไม่ซับซ้อน มีราคาถูก มีความถูกต้องแม่นยำและมีความน่าเชื่อถือ คำสำคัญ : เอทิลแอลกอฮอล์, สแตนเลส, ทองแดง, ความจุไฟฟ้า, วงจรสมมูล, ไดอิเล็กทริก

Abstract

This paper presents the signal analysis of ideal equivalent circuit obtained from capacitive-based sensor for chemical concentration measurement. In this study, the Ethel alcohol solution was used as a case study. The sensor was designed and fabricated with parallel plates finished by 0.4 mm-thick nylon and mounted together by resin to maintain the distance of these plates by 2.5 mm and 5 mm. The parallel plates were made of two types of metal, i.e. stainless and copper, for measurement of Ethel alcohol solution ranging from 95 % to 5 % of concentration. Ethel alcohol was diluted for 10 % increment of solution by distilled water under controlled temperature (23 °C) and 500 Hz increment of frequency which was ranged from 100 Hz to 2 kHz. The variation of electric capacity was then compared with electric circuit of the standard R-L-C instrument (Good Will model CTR) for analyses of the metal fabricated and the appropriate distance of parallel plates. In this study, the simple sensor design with reasonable costs was also aimed as well as the accuracy and reliability of designed sensor was considered.

Keywords : Ethel alcohol, Concentration, Measurement, Parallel plates, Capacitive

¹⁾ อาจารย์ ภาควิชาวิศวกรรมการวัดคุณ คณะวิศวกรรมศาสตร์ สถาบันเทคโนโลยีพระจอมเกล้าเจ้าคุณทหารลาดกระบัง 10520

²⁾ นักศึกษาทดลองเรียน ภาควิชาวิศวกรรมการวัดคุณ คณะวิศวกรรมศาสตร์ สถาบันเทคโนโลยีพระจอมเกล้าเจ้าคุณทหารลาดกระบัง 10520

³⁾ รองศาสตราจารย์ ภาควิชาวิศวกรรมการวัดคุณ คณะวิศวกรรมศาสตร์ สถาบันเทคโนโลยีพระจอมเกล้าเจ้าคุณทหารลาดกระบัง 10520

(Tel: +66-2739-2407; Fax: +66-2739-2406; E-mail: kswitsar@kmit.ac.th)

บทนำ

การตรวจรู้ความเข้มข้นของสารละลายน้ำ เกมีปริมาตรเท่ากับ 100 ml ความสูง ประมาณ 3.3 cm ด้วยหลักการที่นี้ฐานของตัวเก็บประจุ สามารถพิจารณา ได้จากความสัมพันธ์ของความเข้มข้นสารละลายน้ำ เกมีที่แตกต่างกันต่อตัวแปรซึ่งเป็นค่าคงที่ทางไฟอิเล็กทริก อันเป็นผลให้ค่าความจุไฟฟ้าเปลี่ยนแปลงไปตามสมการที่ (1) โดยวิเคราะห์การตอบสนองทางความถี่ต่อวงจรสมมูลของตัวตรวจรู้ ซึ่งในที่นี้จะแสดงการทดสอบตัวตรวจรู้เปรียบเทียบกันระหว่างแผ่นตัวนำชานชาวนานิด สแตนเลสกับทองแดงที่ความถี่ 1 kHz ระยะห่างระหว่างแผ่นชานนาน 5 mm (ชนิด A) และ 2.5 mm (ชนิด B) ตามสัดส่วนความกว้างของแผ่นตัวนำต่อระยะห่าง $d/w = 0.1$ โดยประมาณ ดังรูปที่ 1

$$C = \frac{k\epsilon_0 A}{d} \quad (1)$$

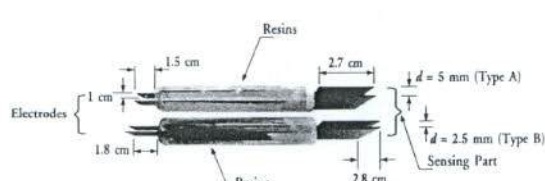
เมื่อ k คือค่าความซึมซาบ (Relative Permittivity) ของสารละลายน้ำ

ϵ_0 คือค่าคงที่ 8.854×10^{-12} (F/m)

A คือพื้นที่ของแผ่นตัวนำ (m^2)

d คือระยะห่างระหว่างแผ่นตัวนำ (m)

ตัวแปรสำคัญที่มีผลต่อการเปลี่ยนแปลงค่าไฟอิเล็กทริก (C) คืออุณหภูมิและความถี่ โดยอุณหภูมิที่สูงขึ้นจะทำให้ค่าไฟอิเล็กทริกลดลงดังสมการที่ (2)



รูปที่ 1 ลักษณะโครงสร้างของตัวตรวจรู้

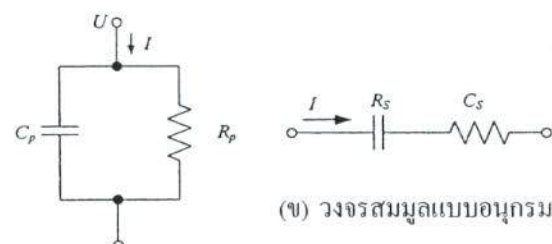
$$\alpha = \frac{(\epsilon - 1)(\epsilon + 2)}{3\epsilon} \beta_v \quad (2)$$

เมื่อ α_ϵ คือสัมประสิทธิ์อุณหภูมิของค่าไฟอิเล็กทริก

β_v คือสัมประสิทธิ์อุณหภูมิการกระจายตัวของเนื้อสาร

ทฤษฎีและหลักการ

การทดสอบตัวตรวจรู้ที่ได้จากเครื่องมือวัด R-L-C มาตรฐาน สามารถแสดงผลอยู่ในรูปค่าความจุไฟฟ้า (C_p) ขนาดกับค่าความด้านหนา (R_p) ตามวงจรสมมูลไฟฟ้าแบบขนานดังแสดงในรูปที่ 2 (ก) โดยกำหนดสมมูลฐานให้แสดงผลอยู่ในลักษณะของค่าความจุไฟฟ้า เพื่อให้ผลลัพธ์มีค่าทางอุณหภูมิกตินากที่สุด ซึ่งค่าอิมพิเดนซ์ $[Z(\omega)]$ ของวงจรสมมูลสามารถหาได้จากสมการ (3)



(ก) วงจรสมมูลแบบขนาน

รูปที่ 2 วงจรสมมูลทางไฟฟ้า

$$Z(\omega) = \frac{R_p}{1 + j\omega C_p R_p} \quad (3)$$

จากสมการที่ (3) สามารถจัดให้อยู่ในรูปของจำนวนเชิงซ้อนประกอบด้วยส่วนจริง (Real Part) และส่วนจินตภาพ (Imaginary Part) ได้ดังสมการที่ (4)

$$Z(\omega) = \frac{R_p - j\omega C_p R_p^2}{1 + j(\omega C_p R_p)^2} \quad (4)$$

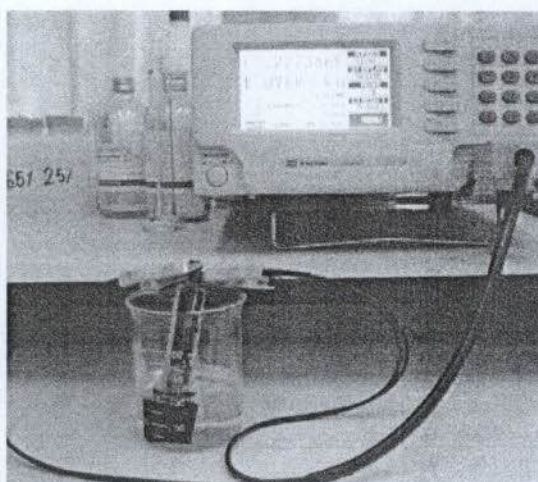
โดยความสัมพันธ์ระหว่างวงจรสมมูลแบบอนุกรณ์และขนาดสามารถเขียนใหม่ได้ดังสมการ (5) และ (6)

$$C_p = \frac{C_s}{1 + \tan^2 \delta} \quad (5)$$

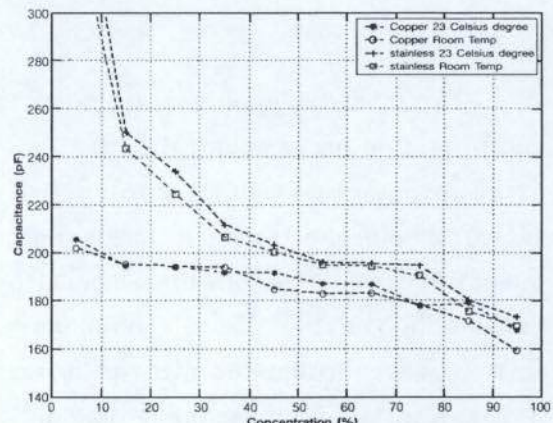
$$R_p = R_s 1 + \frac{1}{\tan^2 \delta} \quad (6)$$

การทดสอบและวิเคราะห์ตัวตรวจรู้

การทดสอบตัวตรวจรู้โดยใช้เครื่องมือวัด R-L-C มาตรฐานสามารถแสดงค่ารูปที่ 3 เมื่อเปลี่ยนแปลงความเข้มข้นของเอทิลแอลกอฮอล์โดยเดินน้ำกัลล์ทำให้ค่าไคอิเล็กตริกของสารละลายเพิ่มขึ้นมีผลให้ค่าความจุไฟฟ้าเปลี่ยนแปลงเพิ่มขึ้นด้วย รูปที่ 4 แสดงผลการทดสอบในสภาวะของอุณหภูมิความคุณเปรียบที่เทา กับ อุณหภูมิห้อง (27°C ถึง 33°C) โดยจะเห็นว่าค่าความจุไฟฟ้าที่อุณหภูมิห้องมีค่าน้อยลงเนื่องจากค่าไคอิเล็กตริกลดลง ตามความสัมพันธ์ในสมการที่ (2) ซึ่งมีค่า $< 3\%$ ของความคลาดเคลื่อนเฉลี่ยตลอดทั้งช่วงการทดสอบ



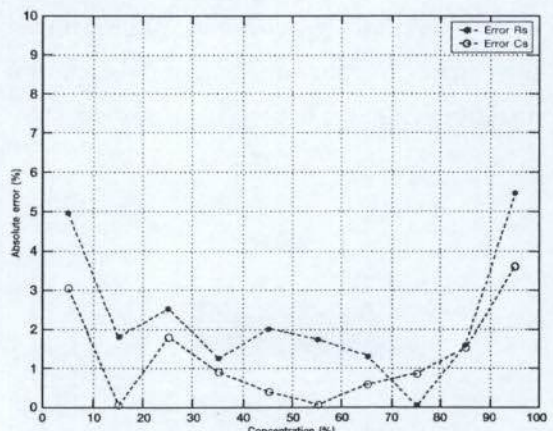
รูปที่ 3 การทดสอบตัวตรวจรู้กับเครื่องมือวัด R-L-C มาตรฐาน



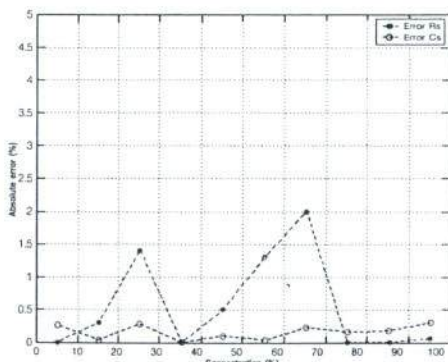
รูปที่ 4 การเปลี่ยนแปลงค่าความจุไฟฟ้า ในส่วนของการควบคุมอุณหภูมิ

การทดสอบความสัมพันธ์ระหว่างวงจรสมมูลแบบขนาดกับแบบอนุกรณ์

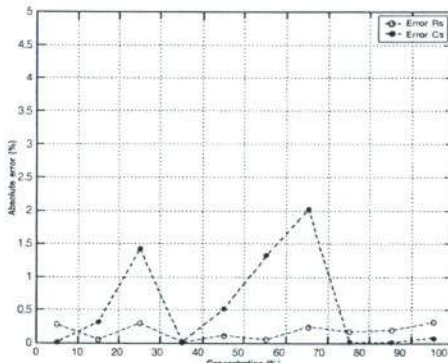
การเปรียบเทียบข้อมูลจากการคำนวณกับค่าจากเครื่องมือวัด ทำโดยนำค่าของวงจรสมมูลแบบขนาดจากเครื่องมือวัดแทนในสมการ (5) เพื่อคำนวณหาค่า C_s และ R_s แล้วนำไปเปรียบกับค่าจากเครื่องมือวัดที่แสดงผลในรูปวงจรสมมูลแบบอนุกรณ์ โดยคิดเป็นporร์เซนต์ความคลาดเคลื่อนสัมบูรณ์ของดัชน้ำสำเคนเลส์และทองแดงที่มีโครงสร้างชนิด A ณ ความถี่ 1 kHz แสดง ดังรูปที่ 5 และ 6 ส่วนดัชน้ำที่มีโครงสร้างชนิด B ดังรูปที่ 7 และ 8



รูปที่ 5 เปอร์เซนต์ความคลาดเคลื่อนสัมบูรณ์ของทองแดงชนิด A ที่ความถี่ 1 kHz



รูปที่ 6 เปอร์เซ็นต์ความคลาดเคลื่อนสัมบูรณ์ของ สแตนเลสชนิด A ที่ความถี่ 1 kHz

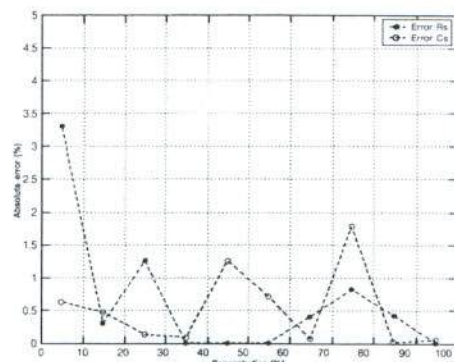


รูปที่ 7 เปอร์เซ็นต์ความคลาดเคลื่อนสัมบูรณ์ของ ทองแดงชนิด B ที่ความถี่ 1 kHz

ผลการทดสอบตัวตรวจวัดที่มีระยะ d ที่แตกต่าง กัน พบว่าแผ่นด้านนำชนิด A มีค่าความคลาดเคลื่อน สัมบูรณ์โดยเฉลี่ยประมาณ 5% ซึ่งมากกว่าแผ่นด้านนำ ชนิด B ที่มีค่าความคลาดเคลื่อนสัมบูรณ์เฉลี่ยประมาณ 1.5%

การทดสอบความเที่ยงตรงในการตรวจวัด

การทดสอบความสามารถในการซ้ำกันเดิม จะพิจารณาจากค่าความจุไฟฟ้าที่ได้จากการสมมูลทางไฟฟ้า ในแต่ละยานความเข้มข้นจำนวนทั้งหมด 5 ครั้ง โดย กำหนดหาค่าเฉลี่ยทางสถิติและค่าเบี่ยงเบนมาตรฐาน ผลที่ได้พบว่าตัวตรวจวัดที่ใช้สแตนเลสเป็นแผ่นด้านนำที่นาน ชนิด B มีค่าความน่าเชื่อถือ 95% ดังแสดงรายละเอียด ในตารางที่ 1 และ 2



รูปที่ 8 เปอร์เซ็นต์ความคลาดเคลื่อนสัมบูรณ์ของ สแตนเลสชนิด B ที่ความถี่ 1 kHz

ตารางที่ 1 คุณลักษณะทางสถิติของทองแดงชนิด B ที่ความถี่ 100 Hz

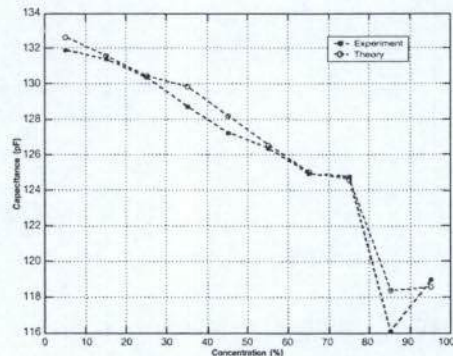
%	\bar{X} (pF)	$S(x)$	U
95	167.96	8.034	7.18
85	179.32	6.45	5.772
75	178.51	6.39	5.72
65	187.425	2.72	2.44
55	187.63	3.42	3.06
45	192.29	3.28	2.93
35	192.68	6.69	5.988
25	194.62	4.337	3.88
15	195.15	2.519	2.253
5	206.10	27.04	24.43

ตารางที่ 2 คุณลักษณะทางสถิติของสแตนเลสชนิด B ที่ความถี่ 100 Hz

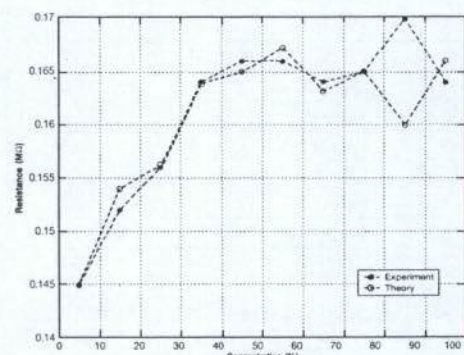
%	\bar{X} (pF)	$S(x)$	U
95	173.819	6.358	5.687
85	180.62	2.124	1.899
75	195.14	3.106	2.77
65	195.94	2.56	2.29
55	196.58	1.42	1.27
45	203.79	5.631	5.036
35	212.22	3.077	2.752
25	234.31	5.391	4.822
15	250.77	3.44	3.082
5	368.17	6.52	5.83

การเปรียบเทียบความคลาดเคลื่อนจากการ คำนวณของวงจรสมมูลแบบอนุกรมในสภาวะด่างๆ กับเครื่องมือวัด จะพิจารณาค่า C_s และ R_s ของตัวตรวจวัด รูปที่ 9 และ 10 แสดงการเปรียบเทียบค่า C_s และ R_s ระหว่างการคำนวณกับการวัด กรณีที่ใช้ทองแดงเป็น

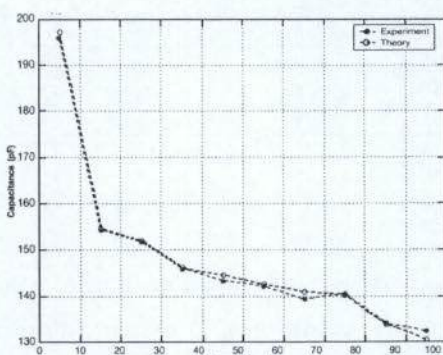
แผ่นโลหะคู่นานาชนิด B ที่ความถี่ตอบสนองเท่ากับ 2 kHz สำหรับในรูปที่ 11 และ 12 แสดงการเปรียบเทียบค่า C_s และ R_s กรณีใช้สแตนเลสเป็นแผ่นโลหะคู่นานาชนิด B ที่ความถี่ตอบสนองเท่ากัน



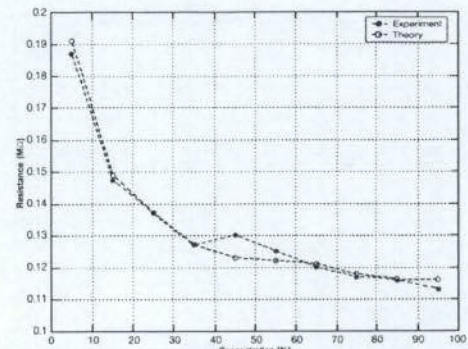
รูปที่ 9 การเปรียบเทียบค่า C_s ของทองแดงชนิด B ความถี่ 2 kHz



รูปที่ 10 การเปรียบเทียบค่า R_s ของทองแดงชนิด B ความถี่ 2 kHz



รูปที่ 11 การเปรียบเทียบค่า C_s ของสแตนเลสชนิด B ความถี่ 2 kHz



รูปที่ 12 การเปรียบเทียบค่า R_s ของสแตนเลสชนิด B ความถี่ 2 kHz

สรุปผลการทดสอบ

ผลการทดสอบด้วยตัวตรวจรู้ที่ได้ออกแบบและสร้างขึ้นพบว่า ตัวตรวจรู้ที่ใช้สแตนเลสเป็นแผ่นโลหะคู่นานาชนิด B มีความเป็นเชิงเส้นมากที่สุดในช่วง 15% ถึง 55% ของความเข้มข้น ความละเอียดเดียวกับ 8.6 pF ต่อการเปลี่ยนแปลงความเข้มข้น 5% และมีค่าความไม่แน่นอนในการวัดค่ากว่า 5% ส่วนตัวตรวจรู้ที่ใช้ทองแดงเป็นแผ่นโลหะคู่นานาชนิด B มีความเป็นเชิงเส้นมากที่สุดในช่วง 25% ถึง 55% ของความเข้มข้นเท่านั้น ความละเอียดเดียวกับ 2 pF ต่อการเปลี่ยนแปลงความเข้มข้น 5% และมีค่าความไม่แน่นอนในการวัดค่ากว่า 6% เมื่อพิจารณาถึงผลกระทบจากอุณหภูมิ ตัวตรวจรู้ที่ใช้ทองแดงเป็นแผ่นโลหะคู่นานาชนิด A จะมีค่าความด้านทานลดลงเมื่ออุณหภูมิสูงขึ้น ทั้งนี้เนื่องจากมีค่า Fringing Field และมีปริมาณต่อในการตรวจวัดมากจึงมีเสถียรภาพต่อสิ่งแวดล้อมค่า สังเกตได้จากค่าความไม่แน่นอนที่สูงกว่าชนิด B ในขณะที่ตัวตรวจรู้ชนิด B มีค่าความด้านทานอยู่ในพิกัดและค่าความจุไฟฟ้าลดลงเฉลี่ยไม่เกิน 2 % ข้อดีของตัวตรวจรู้ที่แสดงผลออกมากเฉพาะค่าความจุไฟฟ้ามากจากจะมีความเป็นอุณหภูมิแล้ว เมื่อพิจารณาถึงการประยุกต์ใช้งานเข้มต่อร่วมกับวงจรบริค์จ์ การปรับปรุงวงจรปรับปรุงความถี่ที่ต้องการทำได้ง่าย เนื่องจากอุปกรณ์ที่ต้องในวงจรปรับปรุงด้วยตัวเก็บประจุไฟฟ้าเพียงอย่างเดียว

ເອກສາຮອ້າງອີງ

- [1] Natee Thong-un, Witsarut Sriratana, Lerdlekha Tanachaikhan, “Design of Capacitive Sensor for Concentration Measurement”, SICE-ICASE International Joint Conference 2006, Bexco, Busan, Korea, October 18-21, 2006.
- [2] G.R. Govinda Raju, “Dielectric Constant of Binary of Liquids.” IEEE Proceeding, October 2000.
- [3] S.C. Saxena and G.M. Taval, “Capacitive Moisture Meter.” IEEE Trans.Instrum.Meas., Vol.IECL-28, No.1, February 1981.
- [4] J.F. Posada et.al., “An Automated Data Acquisition System for Modeling the Characteristi of a Soil Moisture Sensor.” IEEE Trans.Instrum. Meas., Vol.40, No.5, October 1991.
- [5] L. Xu et.al., “Capacitance-Base Concentration Measurement for Gas-Particle System with Particle Loading.” Flow Meas. and Instrum., No.11, 2000.
- [6] Hayt, W. and Buck, J. 2001. “Engineering Electromagnetic.” Singapore : McGraw – Hill.
- [7] Walker, C. 1990. “Capacitance, Inductance and Crosstalk Analysis.” 537. Norwood : ARTECH HOUSE, Inc.
- [8] V. Leus and D. Elata, “Fringing Field Effect in Electrostatic Actuators.” Technical Report ETR-2004-2, Israel Institute of Technology, Faculty of Mechanical Engineering, May 2004.
- [9] H.B. Palmer, “Capacitance of Parallel-Plate Capacitor by the Schwatz – Christoffel Transformation.” Trans.AIEE., Vol.56, March 1927.

